

چکیده

سرعت موج برشی در خاک‌ها یکی از پارامترهای مهم در مطالعات دینامیکی خاک‌ها محسوب می‌شود. این پارامتر در نمونه‌های المانی خاک از طریق آزمایش‌های المانی یا در محل از طریق آزمایش‌های ژئوفیزیک قابل ارزیابی است. از جمله روش‌های پرکاربرد در آزمایشگاه جهت تخمین سرعت موج برشی در خاک‌ها استفاده از المان‌های خمثی و آزمایش ستون تشدید است. در این مقاله با مقایسه نتایج بدست آمده از المان‌های خمثی و ستون تشدید، مقادیر فرکانس مناسب در آزمایش المان خمثی در خاک‌های دانه‌ای به دست آمده است. از طرف دیگر تأثیر نسبت منافذ، تنفس همه‌جانبه و درصد شن بر روی سرعت موج برشی مورد بحث قرار گرفته است. نتایج نشان می‌دهد که با کاهش نسبت منافذ یا افزایش تنفس همه‌جانبه، سرعت موج برشی به صورت غیرخطی افزایش می‌یابد. از طرف دیگر با افزایش مقدار شن تا ۵۰ درصد به ماسه میزان، سرعت موج برشی افزایش یافته و بعد از آن با افزایش شن، سرعت موج برشی کاهش می‌یابد.

واژگان کلیدی: سرعت موج برشی، خاک دانه‌ای، المان خمثی، ستون تشدید، تنفس همه‌جانبه، نسبت منافذ.

ارزیابی سرعت موج برشی در خاک‌های دانه‌ای با استفاده از المان‌های خمثی و ستون تشدید

میثم بیات (نویسنده مسئول)

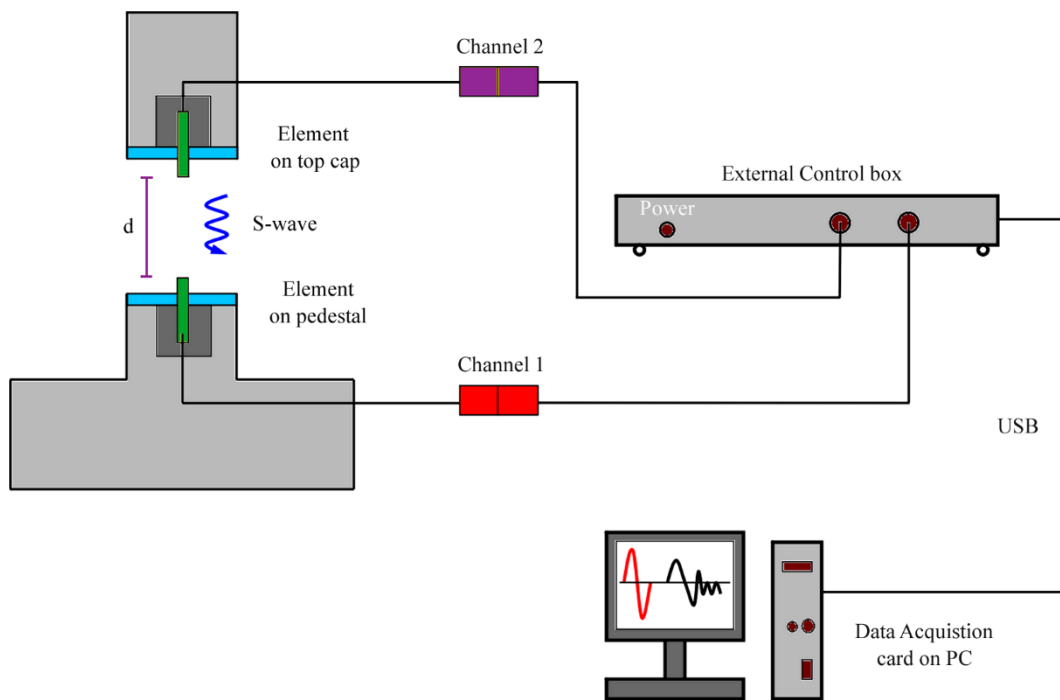
استادیار، گروه مهندسی عمران، واحد نجف‌آباد، دانشگاه آزاد اسلامی، نجف‌آباد، bayat.m@pci.iaun.ac.ir

عباس قلندرزاده

دانشیار، گروه مهندسی عمران، دانشکده فنی، دانشگاه تهران، تهران

روش، استفاده از المان‌های خمثی توسط دایویک و مدشوس [۶] جایگزین آن شد. المان‌های خمثی به سیله چسباندن دو مصالح پیزوالکتریکی به یکدیگر ساخته شده، به گونه‌ای که اعمال یک ولتاژ بر وجود آنها موجب انساط یکی و انقباض دیگری می‌شود. استفاده از این المان‌ها برای اندازه‌گیری سرعت موج برشی، به سبب سادگی کاربرد، قابل اعتماد بودن و همچنین غیر مخرب بودن بسیار مرسم است [۷-۸]. المان‌های خمثی هم به عنوان منتقل کننده و هم به عنوان گیرنده امواج برشی قابل استفاده هستند. کرنش ایجاد شده در اثر حرکت مکانیکی این المان‌ها بسیار کوچک بوده (کمتر از ۴-۱۰ درصد) که در محدوده رفتار الاستیک خاک‌ها است [۱]. این جایه‌جایی با اینکه هیچ تغییر شکل ماندگاری در خاک ایجاد نمی‌کند، به اندازه کافی بزرگ هست که بتواند، موجب جنبش کافی ذرات خاک به گونه‌ای قابل سنجش برای المان خمثی دریافت کننده شود. در اغلب موارد المان‌های خمثی در دو انتهای یک نمونه خاک قرار داده می‌شوند. مکانیسم آزمایش المان خمثی در شکل (۱) نشان داده شده است.

سرعت موج برشی (V_s) یکی از خصوصیات ژئوتکنیکی مهم در خاک‌ها محسوب می‌شود. این پارامتر برای تخمین واکنش لرزه‌ای محل، پتانسیل روانگرایی، دانسیته نسبی خاک، طبقه‌بندی خاک‌ها و همچنین مدول برشی متاظر با کرنش‌های کوچک (G_0 یا G_{max}) استفاده می‌شود. در بسیاری از پروژه‌ها، شناسایی محلی (مثل آندازه گیری‌های دینامیکی) به دلیل مشکلات و هزینه‌های بالا انجام نمی‌شود و به جای آن از آزمایش‌های المانی بر روی نمونه‌های دست‌خورده یا دست‌خورده استفاده می‌شود. از جمله این آزمایش‌های توان به آزمایش المان خمثی و ستون تشدید^۱ اشاره کرد [۳-۱]. مفهوم اولیه استفاده از المان‌های پیزوالکتریک^۲ برای کاربردهای ژئوتکنیکی را می‌توان در کارهای لارنس [۴] دنبال کرد. ایشان از بلورهای پیزوالکتریک برای تولید امواج فشاری یک‌بعدی در ماسه و مهره‌های شیشه‌ای استفاده کرده است. اندازه گیری سرعت موج برشی با استفاده از تیغه‌های سرامیکی پیزوالکتریک‌هادر ابتدا توسط شرلی [۲] و بعد از آن توسط شرلی و همپتون [۵] معرفی شده است و با پیشرفت این



شکل (۱): مکانیسم آزمایش المان خمی.

کار با المان خمی برای جلوگیری از ایجاد اتصال کوتاه ضد آب شدن المان است که حصول آن در اکثر مواقع مشکل است. خصوصاً زمانی که نمونه های خاک متراکم و یا مصالح سخت اشباع باشند. قرار دادن المان خمی در یک چنین مصالح سختی، به آسانی سبب خرابی پوشش ضد آب می شود. برخلاف مزایای قابل توجه المان های خمی، عدم قطعیت ها و مشکلات متعددی در تفسیر نتایج حاصل از آن وجود دارد که این مشکلات و عدم قطعیت ها در تفسیر نتایج آزمایش انتشار موج عمدهاً مربوط به کیفیت سیگنال ورودی است [۷-۸]. در ادامه به مرور ادبیات فنی موجود در توضیح عوامل مؤثر و روش های مختلف تفسیر نتایج حاصل از المان های خمی پرداخته خواهد شد. یکی از بحث برانگیزترین عدم قطعیت ها در مورد تفسیر نتایج حاصل از آزمایش های المان های خمی، تعیین زمان جایه جایی موج برآمدی از المان خمی ارسال کننده تا المان خمی دریافت کننده است [۷-۱۲]. در هنگام استفاده از این المان ها به منظور اندازه گیری سرعت موج برآمدی در خاک، بین شکل موج برآمدی ارسالی و آنچه المان خمی گیرنده دریافت می کند تفاوت بسیاری وجود دارد. در واقع

یک نوسان ولتاژ به المان منتقل کننده وارد و باعث تولید موج می شود. هنگامی که موج به انتهای دیگر نمونه می رسد، باعث تحریک المان گیرنده می شود. اختلاف زمان بین دو پالس ولتاژ به وسیله یک الکتروسکوپ اندازه گیری شده و بر فاصله بین دو نوک المان خمی تقسیم گردیده و سرعت موج برآمدی (در صورت اعمال موج برآمدی) به صورت زیر در نمونه به دست می آید:

$$(1) \quad V_s = L/t$$

همان طور که در شکل (۱) می بینید، مسیر طی شده توسط موج برابر با تفاضل طول نمونه و طول المان خمی بیرون زده به صورت طره فرض می شود. طول موج را نیز می توان از رابطه زیر به دست آورد:

$$(2) \quad \lambda = V_s/f$$

که در این رابطه V_s سرعت موج برآمدی و f فرکانس اعمالی در آزمایش المان خمی است.

با گذشت زمان، این المان ها جایگاهشان را در بین تجهیزات مختلف آزمایشگاه های ژئوتکنیک پیدا کردند. یکی از معایب

برشی دریافته شود. لازم به ذکر است که اثر این عامل در خاک‌های خشک بیشتر گزارش شده است [۱۴، ۱۵]. در نتیجه اختلال‌های ایجاد شده در موج برشی در حین عبور از نمونه و عدم قطعیت موجود در تشخیص صحیح زمان سفر، روش‌های مختلفی برای تعیین زمان سفر موج برشی در آزمایش‌های المان‌های خمینی ارائه شده است که عبارت‌اند از [۱۳، ۱۵]:

۱- زمان اولین ورود^۵

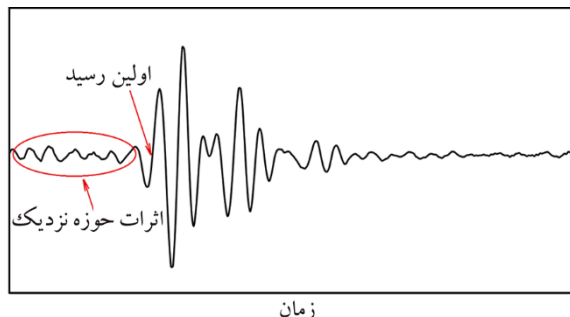
۲- زمان سفر بین نقاط مشخصه^۶

۳- همبستگی حد وسط سیگنال‌های ورودی و خروجی^۷

چنان [۱۶] با انجام مجموعه‌ای از آزمایش‌های المان خمینی جهت اندازه‌گیری سرعت موج برشی در نمونه‌های رسی به این نتیجه رسید که عوامل زیادی بر سرعت موج برشی تأثیرگذار هستند که مهم‌ترین آنها فرکانس واردۀ در المان خمینی، ابعاد نمونه، تأثیر میدان نزدیک و میرایی است. نتایج نشان می‌دهد که کیفیت سیگنال‌های ورودی زمانی رضایت‌بخش می‌شود که نسبت طول موج به اندازه متوسط ذرات ($\lambda/D50$) بزرگ‌تر از ۳

باشد. همچنین زمانی که نسبت قطر نمونه به طول موج (D/λ) بزرگ‌تر از ۵ باشد، کمترین پراکندگی در موج دریافته مشاهده شده است. از طرف دیگر، محدود کردن ارتفاع نمونه حداقل ۱۰ برابر کوچک‌تر از $D50$ می‌تواند در تخمین دقیق‌تر سرعت موج برشی کمک کند. همچنین محدود کردن ارتفاع نمونه بین ۴ تا ۲ برابر λ می‌تواند اثر میدان نزدیک را کاهش دهد. به طور مشابه کیم و همکاران [۱۷] دریافتند که اگر این نسبت بزرگ‌تر از ۲ باشد، اثر میدان نزدیک به حداقل خواهد رسید. منکوزو و وینیل [۱۸] نشان دادند که ممکن است اولین شکست در سیگنال دریافته مربوط به ورود موج برشی نبوده و به ورود اجزای میدان- نزدیک مربوط باشد. موج تولید شده در قسمت میدان- نزدیک غیریکنواخت بوده و در نتیجه منجر به بروز ابهام در تعیین زمان ورود می‌شود. همچنین برخی از محققین با استفاده از آزمایش نشان دادند که وجود اثر میدان- نزدیک اولین ورود موج را پنهان می‌کند [۱۹-۲۰]. ویجینی و اتکینسون [۱۵] نشان دادند که به علت وجود اثرات میدان- نزدیک، نمی‌توان زمان

آنچه به عنوان موج ارسالی و دریافته ثبت می‌شود، اختلاف پتانسیل اعمال شده به المان خمینی ارسال کننده و همچنین اختلاف پتانسیل ایجاد شده در المان خمینی دریافت کننده در اثر جایه‌جایی آن تحت اثر تغییر شکل ناشی از دریافت موج برشی است. شکل (۲) یک نمونه از داده‌های ثبت شده از آزمایش تعیین سرعت موج برشی به وسیله المان‌های خمینی را نشان می‌دهد. مشکلات و عدم قطعیت‌های موجود در تعیین زمان جایه‌جایی موج برشی مربوط به دشواری موجود در تشخیص زمان دقیق دریافت موج برشی است.



شکل (۲): نمونه‌ای از شکل موج دریافته در آزمایش المان خمینی.

همان‌طور که در شکل (۲) مشاهده می‌شود، به جز ثبت داده‌های مربوط به موج برشی اصلی که دامنه بزرگ‌تر دارند، یک قسمت کوچک با دامنه کوچک و همچنین امواجی با دامنه متوسط قابل مشاهده است که به موج‌های فشاری نسبت داده می‌شود. علت وجود این قسمت‌ها در موج دریافته را می‌توان در دو مورد بیان کرد. اول اینکه در بیشتر آزمایش‌های انجام شده، نمونه‌ها دارای ابعاد محدود و در نتیجه دارای مرزهایی صلب بوده‌اند که موجب انعکاس و همچنین انکسار موج از این مرزها شده است [۱۳]. دومین علت را می‌توان این گونه بیان کرد که المان‌های خمینی در هر حرکت القا شده در آنها ترکیبی از امواج فشاری و برشی را تولید می‌کنند که نتیجه تولید امواج فشاری را می‌توان در موج برشی دریافته مشاهده کرد که به آن اثر میدان نزدیک^۸ اطلاق می‌شود. این اثر می‌تواند شکل موج دریافته را تغییر داده و موج بروز عدم قطعیت در تشخیص صحیح زمان رسیدن موج

یک محیط نامحدود است و برای جلوگیری از انتشار امواج فشاری، قطر نمونه می‌بایست بزرگ‌تر از پنج برابر طول موج (λ) باشد. هنگامی که موج با مرزهای نمونه مواجه می‌شود، این پراکندگی افزایش می‌یابد و موجب تبدیل پیوسته موج برشی به موج فشاری و برعکس می‌شود. استاندارد ذکر شده پیشنهاد می‌کند که حداقل طول موج می‌بایست 3λ برابر اندازه میانگین ذرات باشد. نتایج حاصل از تحقیقات انجام شده به منظور اندازه‌گیری سرعت موج برشی با استفاده از المان‌های خمثی نشان داده است که نسبت طول مسیری که موج طی می‌کند به طول موج (d/λ ، در اندازه‌گیری زمان سفر موج دارای اهمیت بالایی است [۱۳-۱۴].

اگر فرکанс موج اعمالی در المان خمثی ارسال کننده به فرکانس تشخیص سیستم خاک و المان‌های خمثی نزدیک باشد، این امر منجر به تولید بزرگ‌ترین و قابل تشخیص ترین سیگنال دریافتی در المان خمثی دریافت کننده خواهد شد [۸]. نسبت طول مسیری که موج طی می‌کند به طول موج (d/λ) باید حداقل برابر با $3/3$ باشد تا اثر میدان-نزدیک ناچیز بوده و شکل سیگنال دریافتی مبهم نباشد. همچنین جهت کاهش خطأ در اندازه‌گیری سرعت موج بایستی اتصال کاملی بین دانه‌های خاک و المان‌های خمثی ارسال کننده و دریافت کننده وجود داشته باشد. بزرگی ولتاژ اعمالی نیز باید به اندازه‌های باشد که موج ارسال شده از المان خمثی فرستنده بتواند به المان خمثی گیرنده برسد [۷-۳۲]. در تحقیقاتی که گذشته، به منظور داشتن موج ارسالی و دریافتی مشابه در المان‌های خمثی فرستنده و گیرنده، پیشنهاد شده از موج‌های سینوسی برای ارسال استفاده شود [۸-۳۳].

تاکنون تحقیقات زیادی بر روی تغییرات G_{max} یا V_s در خاک‌های مختلف از جمله انواع ماسه‌ها و رس‌ها با استفاده از آزمایش ستون تشدید به دلیل دقت و قابلیت اعتماد بالای آن، انجام شده است [۶-۲۴، ۲۶-۳۲، ۴۶-۳۴]. دایوبیک و مادشاوس [۶] آزمایش المان خمثی و ستون تشدید را بر روی پنج نوع متفاوت رس انجام دادند و نتایج آنها را باهم مقایسه نمودند که نشان می‌دهد هر دو آزمایش توافق خوبی با یکدیگر دارند. سوتو و همکاران [۲۸] با انجام آزمایش المان خمثی و ستون تشدید بر روی ماسه خشک،

سفر را با اطمینان از روش اولین ورود به دست آورد و صحیح‌ترین زمان سفر را می‌توان با استفاده از روش همبستگی حد وسط به دست آورد. همچنین استفاده از روش نقاط مشخصه یک راه حل جایگزین ساده است که با نتایج حاصل از روش همبستگی حد وسط تطابق خوبی دارد. گاجو و همکاران [۲۱] دریافتند که روش همبستگی حد وسط زمان ورود موج در آزمایش‌های المان‌های خمثی آنها را کمتر از مقدار واقعی نشان داده است. تحقیقات انجام شده توسط آرولتازان و همکاران [۱۳] نشان داد که زمان سفر بر مبنای نقاط مشخصه و همچنین روش همبستگی حد وسط به علت تداخل امواج در مرزها، تأخیر فاز (مربوط به تأخیر ناشی از تابع انتقالی که امواج الکتریکی را به امواج مکانیکی تبدیل می‌کند و برعکس) و یا اعوجاج سیگنال و همچنین اثرات میدان-نزدیک، معمولاً با خطأ همراه است. آنها پیشنهاد دادند تا زمان سفر بر مبنای زمان دومین ورود موج که کمتر تحت تأثیر اختلال امواج در مرزها و یا تابع انتقال امواج الکتریکی و مکانیکی قرار دارد، محاسبه شود. البته آنها اشاره کرده‌اند که دومین ورود موج همچنان تحت اثرات میدان-نزدیک قرار دارد. کاواگوچی و همکاران [۲۲] نشان دادند که استفاده از نقاط مشخصه تنها در فرکانس‌های بالا قابل قبول است. نکته مهم در تحقیقات انجام شده توسط محققین دیگر این است که در تمامی این تحقیق‌ها، ستون تشدید به عنوان یک مرجع جهت سنجش عملکرد المان‌های خمثی به کار رفته است [۹-۲۳].

در آزمایش‌های المان‌های خمثی، موج برشی از نمونه خاکی با ابعاد محدود عبور می‌کند. تأثیر ابعاد نمونه بر انتشار موج را می‌توان از طریق محدودیت اعمال شده در آن از طریق ASTM-D2845 (روش آزمایش استاندارد برای اندازه‌گیری آزمایشگاهی سرعت پالس و ثابت الاستیک مافوق صوت) بررسی کرد [۳۰]. در این استاندارد پیشنهاد می‌شود که برای به دست آوردن سرعت موج‌های قابل استناد، نسبت طول نمونه (L) به قطر (D) آن باید بیشتر از ۵ باشد. بیشتر نمونه‌های المانی در آزمایشگاه‌های ژئوتکنیکی این محدودیت را رعایت کرده و دارای نسبت L/D در بازه $0.3-0.5$ است. در این استاندارد فرض بر این است که نمونه خاک

المان خمثی و ستون تشدید اندازه‌گیری شده است. هر یک از این دستگاه‌ها در ادامه توضیح داده شده است.

۱-۲- دستگاه ستون تشدید

آزمایش ستون تشدید متداول ترین آزمون آزمایشگاهی برای اندازه‌گیری خواص خاک‌ها در کرنش‌های کوچک است. با استفاده از این آزمایش می‌توان پارامترهای دینامیکی مصالح را در محدوده کرنش‌های برپی کوچک (در حدود ۶-۱۰ تا ۴-۱۰) را استخراج نمود. آزمایش ستون تشدید بسته به شرایط انتها ب نمونه به دو صورت آزاد-گیردار و آزاد-آزاد انجام می‌شود. نتایج تحقیقات گذشته نشان می‌دهد که پارامترهای دینامیکی استخراج شده از هر دو روش با توجه به شرایط مرزی متفاوت ممکن است کمی اختلاف داشته باشند. به عنوان مثال توروس و همکاران [۵۰] نشان دادند که مدول برپی به دست آمده از آزمایش ستون تشدید در شرایط آزاد-گیردار کمی بیشتر از مقدار متناظر به دست آمده از روش آزاد-آزاد است.

دستگاه ستون تشدید مورد استفاده در این تحقیق از نوع آزاد-آزاد بوده است. در این آزمایش نمونه‌های توپر به وسیله یک سیستم بارگذاری الکترومغناطیسی تحت بارمحوری یا پیچشی هارمونیک قرار می‌گیرد. سیستم بارگذاری معمولاً بارهای هارمونیک تولید می‌نماید که فرکانس و دامنه آنها قابل کنترل است. بعد از آنکه نمونه ستون تشدید آمده تحکیم شد، بارگذاری سیکلی شروع می‌شود. فرکانس بارگذاری در اوایل بارگذاری کم بوده و تدریجاً افزایش می‌یابد تا اینکه پاسخ نمونه به مقدار ماکریم برسد. کوچکترین فرکانسی که در آن پاسخ نمونه به صورت موضعی حداکثر می‌گردد، فرکانس اصلی نمونه خواهد بود. فرکانس اصلی نمونه تابعی از سختی خاک در کرنش کم، هندسه نمونه و ویژگی‌های خاص دستگاه ستون تشدید است. آزمایش ستون تشدید اجازه می‌دهد که سختی و میرایی خاک تحت شرایط کنترل شده اندازه‌گیری شود. این دستگاه آزمایشگاهی در شکل (۳-الف) نشان داده شده است.

مقادیر تقریباً مشابه از هر دو آزمایش را ارائه دادند و توافق خوب این دو آزمایش را در ماسه‌های خشک بیان نمودند. اگرچه نتایج آنها در حالت اشباع نشان داد که اختلافی بین نتایج دونوع آزمایش وجود دارد. یون و همکاران [۲۶] سه نوع آزمایش المان خمثی، ستون تشدید و برش پیچشی را بروی دونوع ماسه انجام دادند. مقایسه مقادیر V_s به دست آمده از سه نوع آزمایش نشان می‌دهد که نتایج آزمایش المان خمثی در هر دونوع ماسه تقریباً ۶ تا ۱۰ درصد بزرگ‌تر از دونوع آزمایش دیگر است. گو [۴۷] نتایج حاصل از المان خمثی و ستون تشدید برای G_{max} بر روی ماسه اشباع توپورا را با یکدیگر مقایسه نمودند. نتیجه این مقایسه نشان می‌دهد که مقادیر G_{max} به دست آمده از المان خمثی تقریباً ۱۰ تا ۱۵ درصد بزرگ‌تر از مقادیر به دست آمده از طریق آزمایش ستون تشدید است. سای و همکاران [۴۶] با مقایسه نتایج آزمایش المان خمثی با ستون تشدید و آزمایش برش پیچشی در کرنش‌های بسیار کوچک در ماسه اشباع نشان دادند که مقادیر V_s به دست آمده از المان خمثی تقریباً ۵ تا ۱۰ درصد بزرگ‌تر از دونوع آزمایش دیگر است. قابل ذکر است، امروزه تعریف یک رابطه جهت تخمین G_{max} بر اساس خصوصیات خاک محل، می‌تواند بسیار مفید واقع شود که این کار توسط محققین گذشته انجام شده است [۴۸-۴۹].

اگرچه مطالعه‌های زیادی بر روی سرعت موج برپی یا مدول برپی ماکریم در خاک‌های دانه‌ای شده است، ولی یک مطالعه کامل و بررسی تأثیر عوامل مختلف بر روی سرعت موج برپی خاک‌های مخلوط دانه‌ای با استفاده از المان‌های خمثی و همچنین اعتبارسنجی نتایج به دست آمده از طریق مقایسه نتایج آن با نتایج آزمایش ستون تشدید در ادبیات فنی وجود ندارد. در این مطالعه آزمایشگاهی اثر نسبت منافذ و تنفس همه‌جانبه بر روی سرعت موج برپی خاک‌های دانه‌ای مخلوط شن و ماسه بررسی شده است و نتایج المان خمثی با مقایسه با ستون تشدید اعتبارسنجی شده است.

۲- معرفی دستگاه‌های مورد استفاده

در این تحقیق، سرعت موج برپی با استفاده از دو آزمایش

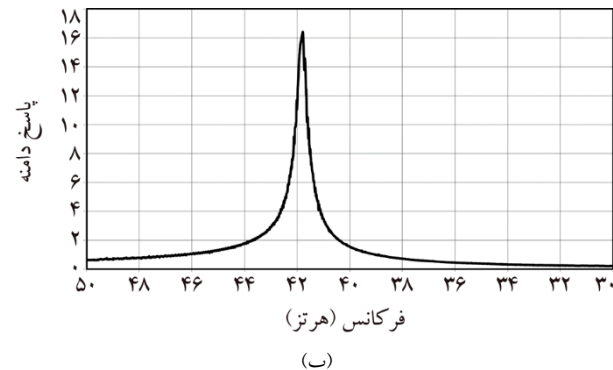
سهولت قابل بررسی است. نمونه‌ای از اندازه‌گیری فرکانس تشدید (f_r) در شکل (۳-ب) نشان داده شده است.

۲-۲- المان‌های خمسي

المان‌های خمسي مورد استفاده در این تحقیق در سلول دستگاه سه محوری نصب شده است. ارتفاع هر یک از تیغه‌های المان خمسي ۱۰ میلی‌متر است. با توجه به اینکه تمامي آزمایش‌ها در شرایط اشباع انجام شده است، قبل از انجام آزمایش در المان‌های خمسي از ضد آب بودن آنها باید اطمینان حاصل کرد. برای این منظور از لایه نازکی چسب مخصوص استفاده شده است. از نکات مهم دیگر در کاربرد المان‌های خمسي، هم جهت بودن تیغه‌ها در بالا و پایین نمونه است که می‌بایست در زمان ساخت نمونه در نظر گرفته شود. اولین کنترل مربوط به کنترل عدم وجود مسیری به جز نمونه خاک در سلول، برای انتقال موج برشی بوده است. برای این منظور سلول را که فاقد نمونه بوده و کپ‌های بالايی و پايينی مجهر به المان‌های خمسي به صورت عريان در آن و با فاصله از يكديگر ثبيت شده بودند را از آب پر نموديم. سپس يك موج برشی توسط المان فرستنده، ارسال كرديم. انتظار مى‌رفت که در صورت عدم وجود مسیر اضافي برای انتقال موج، المان گيرنده، دريافتي نداشته باشد. البته نتيجه آزمایش کنترلي نشان‌دهنده عدم وجود مسیر انتقال موج اضافي بود. کنترل دیگر، بررسی هم جهت بودن قطبیت المان‌های خمسي فرستنده و گيرنده است. برای این منظور، المان‌های خمسي فرستنده و گيرنده نصب شده در کپ‌های پايينی و بالايی را بر روی يكديگر قرار داده و توسط المان فرستنده يك موج ارسال مى‌كنيم. در صورتی که موج دریافت شده توسط المان گيرنده هم جهت با موج ارسالی باشد (از نظر ترتیب قله و دره دريافتي)، جهت قطبیت المان‌های فرستنده و گيرنده يكى است و باید در آزمایش‌ها اين گونه باشد. حال اگر کپ بالايی را ۱۸۰ درجه بچرخانيم و دوباره المان‌ها را بر روی يكديگر قرار دهيم، موج دریافتي آينه موج ارسالی خواهد شد و باید توجه شود که جهت قطبیت المان‌ها در هنگام انجام آزمایش‌ها يكسان باشد.



(الف)



(ب)

شکل (۳): آزمایش ستون تشدید (الف) دستگاه آزمایش (ب) نمونه‌ای از نتیجه آزمایش ستون تشدید.

از اين دستگاه تمام اتوماتيک مى‌توان برای اندازه‌گيري خواص ديناميكي خاک‌ها در كرنش‌های کوچک استفاده کرد. با استفاده از اين دستگاه مى‌توان نمونه‌های خاکی را به وسیله يك سистем بارگذاري الکترومغناطيسي تحت بارپيچشي هارمونيك مورد مطالعه قرار داد. سистем بارگذاري دستگاه موجود بارهای هارمونيك توليد مى‌نماید که فرکانس و دامنه آنها قابل کنترل است. اين دستگاه قادر به اندازه‌گيري فرکانس اصلی (کوچک ترين فرکانسي) که در آن پاسخ نمونه به صورت موضعی جدا‌کثر مى‌گردد است که اين فرکانس اصلی نمونه تابعی از سختی خاک در كرنش کم و هندسه نمونه است. آزمایش ستون تشدید اجازه مى‌دهد که سختی و ميراي خاک تحت شرایط کنترل شده اندازه‌گيري شود. با استفاده از اين دستگاه اثرات فشار مؤثر محدود کننده، دامنه كرنش و زمان به

سطح تأمین شده است. حجم آب عبوری در حدود ۱/۵ الی ۲ لیتر کافی به نظر رسیده است. مرحله سوم اعمال پس فشار است. بدین منظور ابتدا بورت‌های مربوط به بالا و پایین نمونه را با آب مقطر هواگیری شده با اعمال مکش پر می‌کنیم، سپس لوله‌های ارتباطی به شیرهای تعییه شده بالا و پایین نمونه متصل می‌شود. اعمال پس فشار باید به گونه‌ای باشد که همواره تنفس مؤثر در نمونه همان ۲۰ الی ۲۵ کیلو پاسکال اولیه باقی بماند؛ یعنی هم‌زمان با اضافه کردن پس فشار، فشار سلول نیز افزایش یابد. کنترل درجه اشباع به وسیله پارامتر فشار آب منفذی اسکمپتون^{۱۱} (B) انجام شده است. این پارامتر به صورت زیر تعریف می‌شود:

$$B = \Delta u / \Delta \sigma \quad (3)$$

اشباع بودن خاک بدان معناست که هرگاه در حالت زهکشی نشده به نمونه اضافه تنفس ۵۰ اعمال شود، فشار آب منفذی به همان اندازه تغییر کند. هرگاه B برابر با ۱ باشد، خاک ۱۰۰ درصد اشباع است. در آزمایش‌های اشباع انجام شده، درجه اشباع بالای ۹۵ درصد مدنظر قرار گرفته است (مطابق با اشباع بالای ۹۵ در آزمایش‌های اشباع از پس فشار ۲۰۰ کیلو پاسکال استفاده شده است).

۳-۳- مرحله تحکیم

بعد از آنکه نمونه خاک به حالت اشباع رسید، فشار همه‌جانبه وارد بر نمونه را با توجه به پس فشار و مقدار تنفس تحکیمی مؤثر افزایش می‌دهیم. با توجه به نوع آزمایش‌های سه محوری انتخاب شده در این تحقیق در مرحله تحکیم اجازه زهکشی به آب حفره‌ای داده می‌شود. با گذشت زمان حجم آب خروجی از داخل نمونه خاک در یک مقدار معین ثابت می‌شود. به دلیل اشباع بودن نمونه‌ها، تغییر حجم نمونه در این مرحله با اندازه‌گیری حجم آب خروجی به راحتی قابل محاسبه است. پایان مرحله تحکیم زمانی است که هیچ گونه اضافه فشار آب حفره‌ای در نمونه وجود نداشته باشد. به عبارت دیگر تمامی اضافه فشار آب حفره‌ای ایجاد شده در نمونه به دلیل تنفس

سومین کنترل مربوط به کنترل تأخیر ایجاد شده ارسال و دریافت موج است که ناشی از سخت‌افزار الکترونیکی است. نحوه انجام این کنترل مانند کنترل قطبیت شامل قرار دادن دو المان خمثی با قطبیت هم جهت روی هم و ارسال و دریافت موج در المان‌های است. پس از آن باید فاصله زمانی ایجاد شده بین موج ارسالی و دریافتی را به دست آورد. آزمایش برای المان‌های موجود انجام شد و از آنجایی که تأخیر موجود بسیار ناچیز بود (۱۰^{-۵} ثانیه) و از این روی تأثیر قابل ملاحظه‌ای در برآورد سرعت موج ایجاد نمی‌کرد، از اثر آن صرف نظر شد. در این تحقیق برای تخمین سرعت موج برتری با استفاده از المان‌های خمثی از دو روش قله- قله^۸ و ابتدا- ابتدا^۹ استفاده شده است.

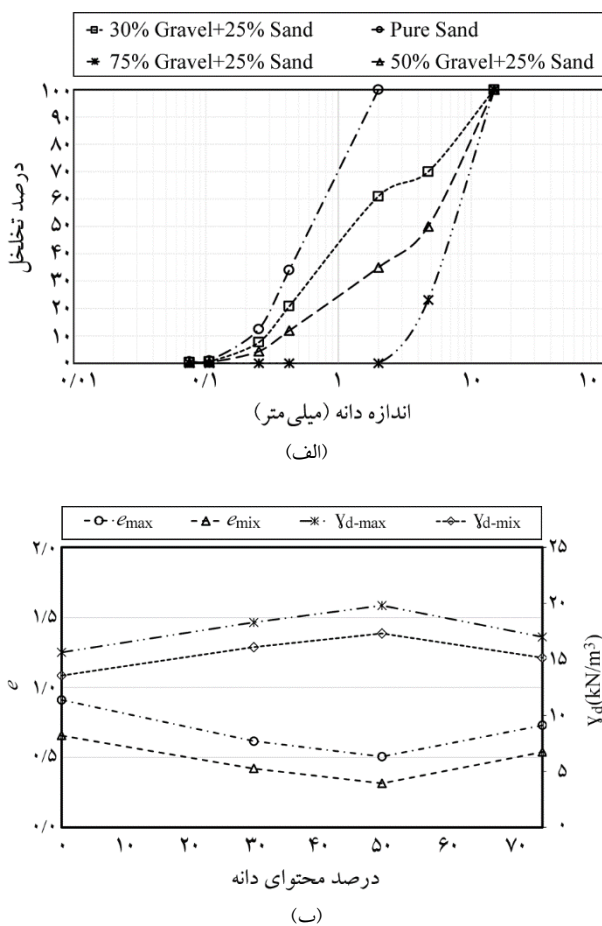
۳- روند انجام آزمایش‌ها

۳-۱- مرحله ساخت نمونه

در این تحقیق از روش کوبش مرطوب برای ساخت نمونه‌ها در هر دو آزمایش ستون تشدید و المان خمثی استفاده شده است. در روش کوبش مرطوب، یک رطوبت اولیه (حدود ۳ درصد) به خاک اضافه می‌شود و خاک مرطوب شده در ۱۰ لایه (هر لایه ۲ سانتیمتر) درون قالب ریخته شده و متراکم می‌شود. لازم به ذکر است که در این روش نمونه‌سازی سعی شده است برای رسیدن به نمونه‌ای همگن، لایه‌های پایین کمتر از لایه‌های بالا کوییده شود [۵۱-۵۳].

۳-۲- مرحله اشباع سازی

اولین مرحله اشباع نمودن نمونه‌ها، عبور دادن گاز دی‌اکسید کربن از نمونه است. در ابتدا برای اشباع سازی بهتر و رسیدن به درجه اشباع بالا، به دلیل عبور آسان‌تر آب از دی‌اکسید کربن و همچنین حل شدن بهتر دی‌اکسید کربن در آب نسبت به هوا، از نمونه به مدت تقریباً نیم ساعت دی‌اکسید کربن عبور می‌دهیم. مرحله دوم، عبور دادن آب مقطر هواگیری شده^{۱۰} از نمونه است. آب مقطر هواگیری شده از پایین به بالای نمونه عبور داده می‌شود. به این منظور هد لازم جهت عبور آب توسط اختلاف



شکل (۴): مشخصات خاک‌های مورد استفاده (الف) منحنی دانه‌بندی، (ب) وزن مخصوص و نسبت منافذ ماکریم و مینیم.

برای به دست آوردن نسبت تخلخل حدائق، خاک را درون ظرفی که دارای یک سروپوش سنگین است ریخته و در فرکانس و مدت زمان مشخصی تحت لرزش قرار داده تا به متراکم‌ترین حالت ممکن برسد. به‌منظور محاسبه نسبت تخلخل حداکثر، می‌بایست خاک با دقت و به‌آرامی به‌وسیله یک ییلچه مخصوص با ارتفاع سقوط ثابت ۱۳ میلی‌متر و به‌صورت ماربیج، درون ظرف ریخته شود. نتایج حاصل از این آزمایش‌ها بر حسب وزن مخصوص خشک و نسبت منافذ در شکل (۴-ب) ارائه شده است. همان‌طور که در این شکل مشاهده می‌شود، با افزایش درصد شن نسبت تخلخل حدائق و حداکثر به میزان قابل ملاحظه‌ای کاهش می‌یابد. این روند تا درصد وزنی حدود ۵۰ درصد ادامه یافته و بعد از آن با کاهش میزان ماسه، افزایش می‌یابد. دلیل این اتفاق این است که در ابتدا با اضافه کردن شن به ماسه خالص، دانه‌های ماسه در لایه‌لای

تحکیمی از بین رفته باشد و همچنین تغییر حجم نمونه ثابت شده باشد. تغییر حجم نمونه با اتصال نمونه به یک بورت مجهر به قرائت الکترونیکی اندازه گیری و با دقت بالایی لحظه‌به‌لحظه قابل ثبت است.

بعد از مرحله تحکیم، هر دو آزمایش المان خمثی و ستون تشدید به صورت زهکشی نشده انجام شده است و در بین مراحل انتشار موج یا اعمال بار پیچشی شیرهای مربوط به بالا و پایین نمونه باز گذاشته شده تا در صورت بالا رفتن فشار آب حفره‌ای، اضافه فشار ایجاد شده از بین برود. آزمایش‌های انجام شده نشان دادند که افزایش فشار آب حفره‌ای به دلیل انتشار موج بسیار ناچیز بوده و در آزمایش ستون تشدید فقط با ادامه دادن آزمایش در سطوح کرنش‌های بزرگ‌تر، این افزایش فشار آب حفره‌ای قابل ملاحظه بوده است. قبل ذکر است از آنجا که در این تحقیق فقط در کرنش‌های بسیار کوچک، سرعت موج برشی اندازه گیری شده است، مقدار اضافه فشار آب حفره‌ای تقریباً ناچیز بوده است.

۴- مصالح مورد استفاده

مصالحی که در تحقیق پیش روی مورد استفاده قرار گرفته‌اند شامل ماسه سیلیسی شکسته ۱۶۱ فیروزکوه به همراه شن متواساک بوده است. ماسه ۱۶۱ فیروزکوه دارای رنگ زرد متمایل به طلایی بوده و دارای دانه‌بندی یکتواخت است. در شکل (۴-الف) دانه‌بندی مخلوط‌های مختلف شن و ماسه به کار رفته در این تحقیق نشان داده شده است. واضح است که با اضافه کردن ماسه به شن خالص، نسبت تخلخل حدائق و حداکثر آن تغییر خواهد کرد. به‌منظور مقایسه نتایج به‌دست آمده از آزمایش‌ها، نیازمند داشتن این مقادیر برای خاک‌های مخلوط هستیم. از این روی می‌بایست نسبت تخلخل حدائق و حداکثر خاک در درصد شن‌های متفاوت به دست آید. نسبت تخلخل حدائق (متراکم‌ترین حالت) بر اساس ASTM-D4253 و نسبت تخلخل حداکثر (سیستم‌ترین حالت) بر اساس ASTM-D4254 به دست می‌آیند [۵۵-۵۶].

توجه به تغییرات در دانسیته نسبی و بافت خاک در اثر بارگذاری در آزمایش ستون تشدید، برای نمونه‌ها با تنفس همه‌جانبه کمتر از ۱۰۰ کیلوپاسکال یک نمونه، ۱۰۰ تا ۳۰۰ کیلوپاسکال نمونه دیگر و درنهایت برای نمونه‌هایی با تنفس همه‌جانبه بین ۳۰۰ تا ۶۰۰ کیلوپاسکال نیز نمونه دیگری مورد آزمایش قرار گرفته است. درحالی که برای آزمایش المان خمثی با توجه به اینکه این آزمایش مخرب نبوده و اثر بسیار ناچیزی بر روی نمونه دارد، برای همه تنش‌ها (از ۳۰ تا ۶۰۰ کیلوپاسکال) در یک دانسیته نسبی خاص از یک نمونه استفاده شده است.

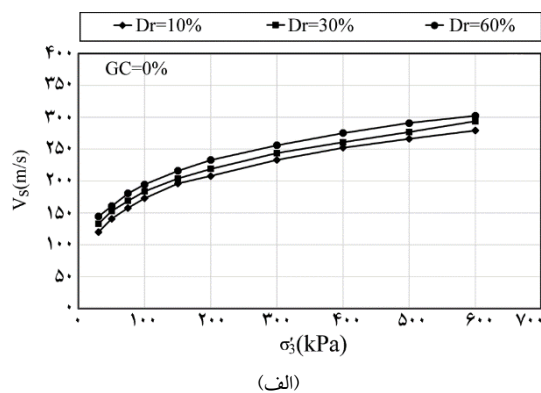
۵-۱-اثر درصد شن و تنفس همه‌جانبه بر روی Vs

برای نشان دادن اثر درصد شن در تنش‌های متفاوت، در دانسیته‌های نسبی ۱۰، ۳۰ و ۶۰ درصد، تعدادی آزمایش ستون تشدید در تنش‌های متفاوت از ۳۰ تا ۶۰۰ کیلوپاسکال انجام شده است که نتایج آن بر اساس دانسیته نسبی در شکل (۵) آورده شده است. همان‌طور که در این شکل مشاهده می‌شود، در یک دانسیته نسبی و تنفس همه‌جانبه ثابت، افزایش شن به ماسه باعث افزایش سرعت موج برتری شده است و این روند تا ۵۰ درصد شن ادامه یافته است. درحالی که بعد از ۵۰ درصد شن، افزایش بیشتر شن (مقدار شن ۷۵ درصد) باعث کاهش سرعت موج برتری شده است. با بازنگری شکل (۴-ب) همان‌طور که در قبل ذکر شده است، می‌توان یافت که مقادیر e_{max} و e_{min} با اضافه کردن شن به ماسه کاهش یافته و این روند کاهشی تا ۵۰ درصد شن مشاهده شده است. درحالی که بعد از آن با افزایش شن (بیش از ۵۰ درصد) مقادیر e_{max} و e_{min} در $GC = 75$ درصد افزایش یافته است. به عبارت دیگر، در یک دانسیته خاص، نمونه‌های حاوی ۵۰ درصد شن کمترین مقادیر منافذ را دارند. بازنگری شکل (۵) نشان می‌دهد که اثر اضافه شدن شن بر روی سرعت موج برتری در تنش‌های بالاتر چشمگیرتر است. از طرف دیگر نتایج نشان می‌دهد که افزایش تنفس همه‌جانبه اثر اضافه شدن شن بر روی سرعت موج برتری را نسبت به افزایش دانسیته نسبی بیشتر نشان می‌دهد. با استفاده

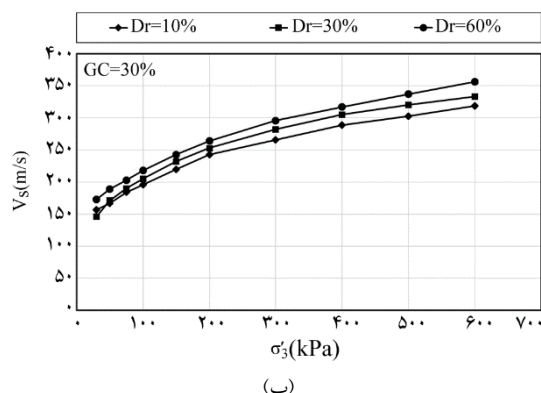
حفرات موجود در بین دانه‌های شن قرار گرفته و بیشترین فضاهای خالی بین دانه‌های شن را پر می‌کنند، در نتیجه حجم فضاهای خالی کاهش یافته و نسبت تخلخل نیز کاهش می‌یابد. با افزایش بیشتر مقدار شن و کم شدن مقدار ماسه، پس از پر شدن بیشترین فضاهای خالی حفرات بین دانه‌های شن (نژدیک به ۵۰ درصد شن)، کم کم دانه‌های شن با افزایش ماسه از یکدیگر فاصله گرفته و به صورت غوطه‌ور درون ماسه قرار می‌گیرند. با این روند فضای خالی بین ذرات شن شروع به افزایش می‌کند. به عبارت دیگر با یک انرژی تراکم یکسان در تمامی گروه‌های خاکی مورد مطالعه، در مخلوط ماسه همراه با مقدار تقریبی نژدیک به ۵۰ درصد شن می‌توان به کمترین مقدار فضای خالی در مخلوط رسید.

۵-نتایج و بحث

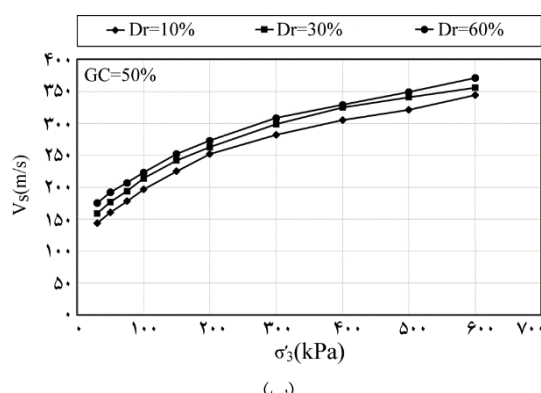
هدف اصلی این تحقیق در گام اول بررسی اثر درصد شن، دانسیته نسبی و فشار همه‌جانبه متوسط بر سرعت موج برتری در مخلوط‌های ماسه و شن و در گام دوم ارزیابی عملکرد المان‌های خمثی با مقایسه نتایج به دست آمده با آزمایش ستون تشدید است. از این روی یک سری آزمایش المان خمثی و همچنین آزمایش ستون تشدید بر روی نمونه‌هایی از ماسه ۱۶۱ فیروزکوه با درصد‌های مختلف شن انجام شده است. تمامی آزمایش‌ها در تنش‌های همه‌جانبه متفاوت (۳۰، ۵۰، ۷۵، ۱۰۰، ۱۵۰، ۲۰۰، ۳۰۰، ۴۰۰، ۵۰۰ و ۶۰۰ کیلوپاسکال)، در سه نسبت منافذ متفاوت (یا سه دانسیته نسبی متفاوت ۱۰، ۳۰ و ۶۰ درصد) و ۴ درصد شن متفاوت (۰، ۳۰، ۵۰ و ۷۵ درصد) انجام شده است. در تمامی آزمایش‌ها نسبت منافذ اولیه طوری تنظیم شده است که نسبت منافذ اولیه بعد از مرحله تحکیم تقریباً برابر با مقدار مورد نظر شود. با این حال بسته به شرایط آزمایش، مقدار نسبت منافذ بعد از مرحله تحکیم با مقدار مورد نظر کمی اختلاف داشته است. در همه آزمایش‌ها این اختلاف کمتر از ۴ درصد بوده که به دلیل کم بودن مقدار خطای می‌توان از آن صرف نظر کرد. لازم به ذکر است که اندازه گیری Vs در آزمایش‌های المان خمثی با فرکانس‌های متفاوتی (۳، ۶، ۱۰، ۱۵، ۲۰ و ۲۵ کیلوهرتز) انجام شده است. قابل ذکر است با



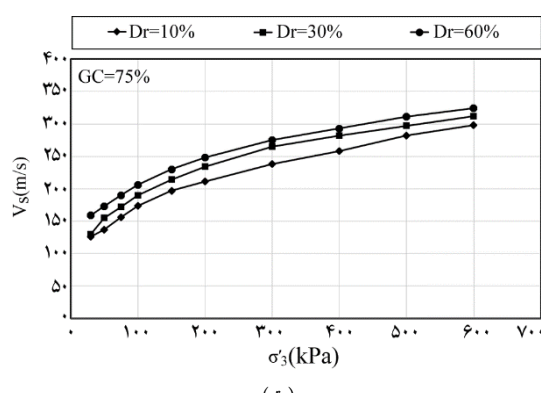
(الف)



(ب)



(پ)



(ت)

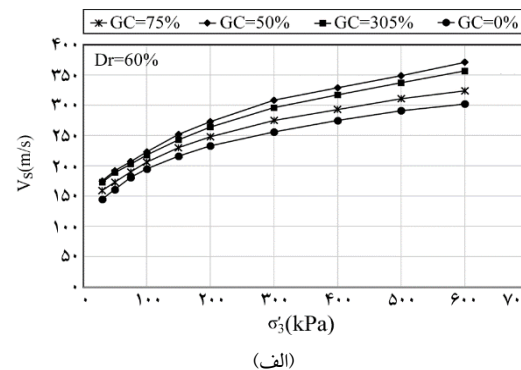
شکل (۶): تغییرات سرعت موج برشی در مقابل تنش همه‌جانبه مؤثر $Dr = \% 10$ (الف) $Dr = \% 30$ (ب) $Dr = \% 60$ (ت) $GC = \% 0$ (الف) $GC = \% 30$ (ب) $GC = \% 50$ (پ) $GC = \% 75$ (ت).

از شکل (۵) می‌توان اثر افزایش تنش همه‌جانبه بر روی سرعت موج برشی را بررسی نمود.

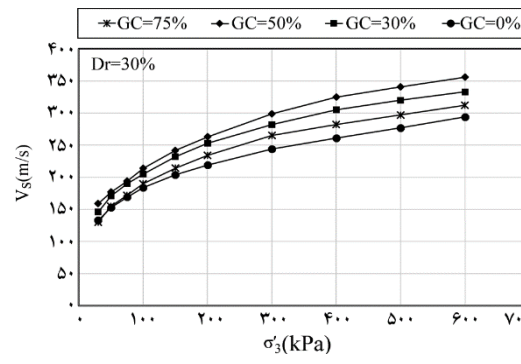
همان‌طور که نتایج نشان می‌دهد افزایش تنش همه‌جانبه در هر دانسیته نسبی و درصد شنی، باعث افزایش غیرخطی سرعت موج برشی (یا مدول برشی ماکریزم) شده است که این یافته موافق با نتایج محققین پیشین بوده است [۶۰-۵۷].

۵-۲-۱-۲-۵ اثر دانسیته نسبی بر روی V_s

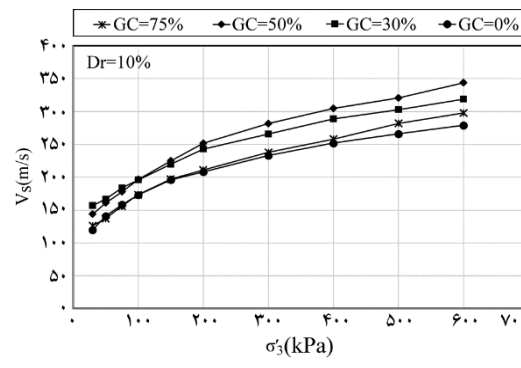
اثر دانسیته نسبی بر روی سرعت موج برشی در خاک ماسه‌ای مخلوط با درصد شن‌های مختلف در شکل (۶) نشان داده شده است.



(الف)



(ب)



(ت)

شکل (۵): تغییرات سرعت موج برشی در مقابل تنش همه‌جانبه مؤثر $Dr = \% 10$ (الف) $Dr = \% 30$ (ب) $Dr = \% 60$ (ت) $GC = \% 0$ (الف) $GC = \% 30$ (ب) $GC = \% 50$ (پ) $GC = \% 75$ (ت).

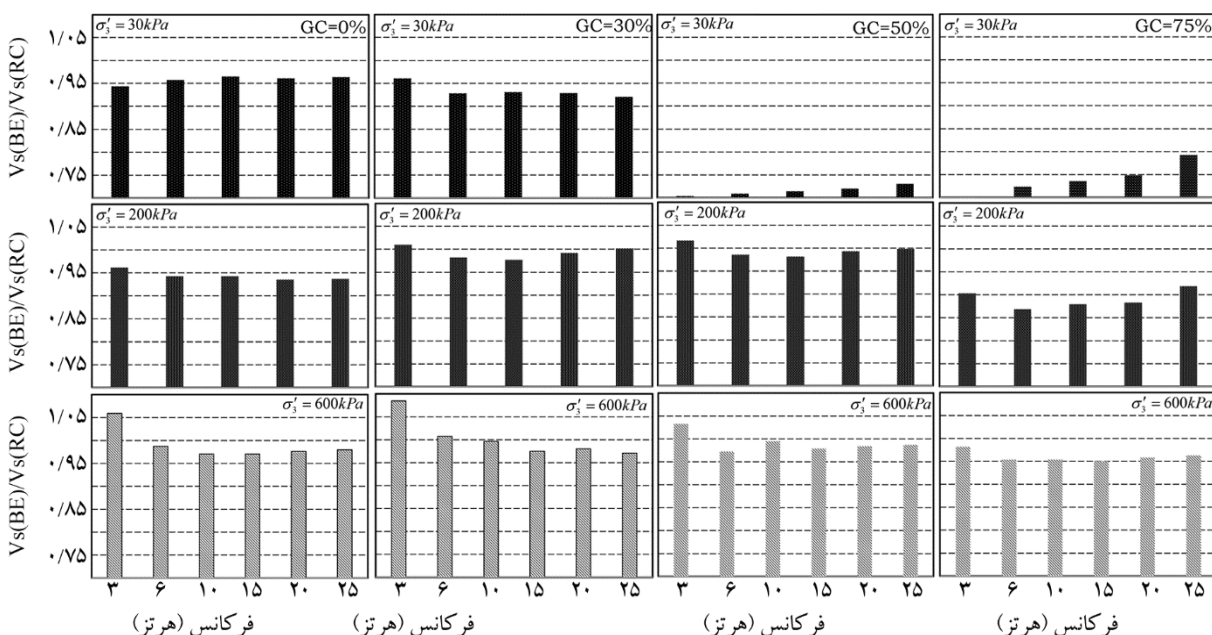
تنش همه‌جانبه یکسان را در گروه‌های مختلف خاکی مورد مطالعه نشان می‌دهد. نزدیک شدن این نسبت به یک نشان از توافق خوب بین نتایج المان خمی و ستون تشدید را نشان می‌دهد. این نسبت برای سه سطح تنش، یعنی سطح تنش کم (۳۰ کیلوپاسکال)، متوسط (۲۰۰ کیلوپاسکال) و بالا (۶۰۰ کیلوپاسکال) نشان داده شده است. همان‌طور که در شکل (۷) دیده می‌شود، مقادیر مناسب فرکانس اعمالی در آزمایش المان خمی تابعی از نوع خاک و تنش همه‌جانبه است. با مقایسه نتایج می‌توان یافت که به طور کلی بیشترین اختلاف بین نتایج دو آزمایش تقریباً مربوط به نمونه‌های حاوی ۷۵ درصد شن است. از طرف دیگر در تمامی گروه‌های آزمایشی، نتایج نشان می‌دهد که افزایش تنش همه‌جانبه تقریباً باعث همگراشدن نتایج المان خمی به ستون تشدید می‌شود. قابل ذکر است که در اینجا، نتایج المان‌های خمی برحسب مقدار میانگین به دست آمده در فرکانس‌های مختلف در این سطح تنش خاص به دست آمده است. نتایج نشان می‌دهد که افزایش تنش همه‌جانبه باعث همگرایی تقریباً بیشترین نتایج المان خمی و ستون تشدید شده است که دلیل آن می‌تواند افزایش نقاط تماس بین دانه‌های خاک باشد.

همان‌طور که در این شکل مشاهده می‌کنید، افزایش دانسیته نسبی در تمامی گروه‌های خاکی در یک تنش همه‌جانبه ثابت، باعث افزایش سرعت موج برشی شده است. بازنگری نتایج همچنین نشان می‌دهد که اثر دانسیته نسبی بر روی VS تقریباً مستقل از سطح تنش است. نتایج به دست آمده در این قسمت نیز توافق خوبی با نتایج سایر محققین دارد [۶۱-۶۴].

۵-۳- مقایسه نتایج ستون تشدید و المان خمی

برای یافتن طول موج یا به تعبیر دیگر فرکانس مناسب در اندازه گیری سرعت موج برشی در گروه‌های خاکی متفاوت مورد بررسی، آزمایش المان خمی با فرکانس‌های متفاوت ۳ تا ۲۵ کیلوهرتز انجام شده است.

مرجع اصلی جهت اعتبارسنجی نتایج المان خمی مطابق با محققین پیشین، ستون تشدید در نظر گرفته شده است [۹، ۲۳-۲۹، ۶۵]. به عنوان نمونه، شکل (۷) نسبت سرعت موج برشی به دست آمده در آزمایش المان خمی با فرکانس‌های متفاوت با روش قله-قله به سرعت موج برشی به دست آمده در آزمایش ستون تشدید بر روی نمونه‌های مشابه با $Dr = 60$ درصد و تحت

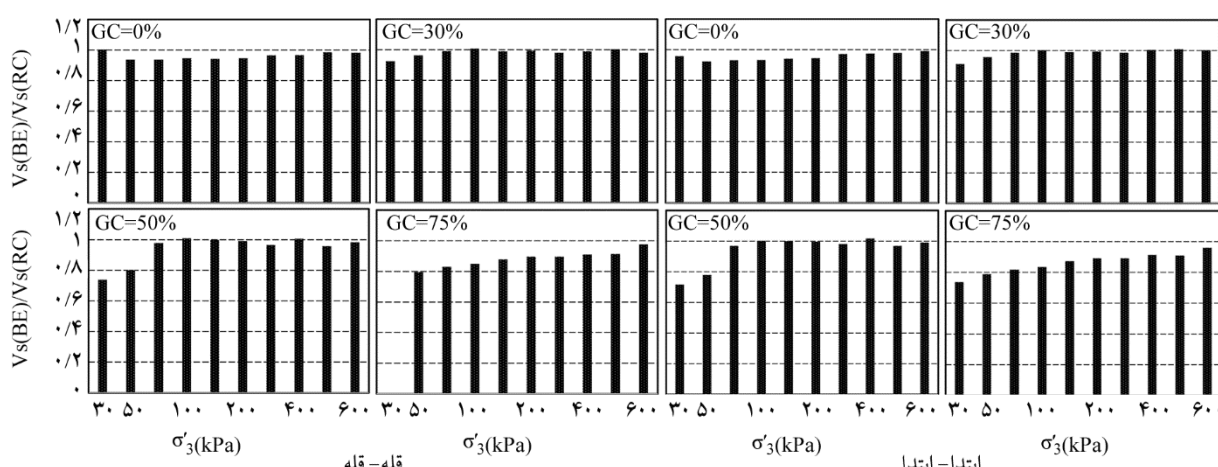


شکل (۷): نسبت سرعت موج برشی به دست آمده در آزمایش المان خمی با فرکانس‌های متفاوت با روش قله-قله به سرعت موج برشی به دست آمده در آزمایش ستون تشدید بر روی نمونه‌های مشابه با $Dr = 60$. (الف) $GC = 30\%$ (ب) $GC = 50\%$ (پ) $GC = 75\%$ (ت) $GC = 0\%$

که سرعت موج برشی در خاک ماسه‌ای خالص با استفاده از المان‌های خمثی در محدوده فرکانس‌های بیشتری قابل یافتن است، این در حالی است که با اضافه شدن شن به خاک ماسه میزبان، انجام آزمایش المان خمثی در محدوده فرکانس‌های محدودتری قابل انجام است به طوری که جواب به دست آمده نزدیک به جواب متناظر به دست آمده از آزمایش ستون تشدید است. در ضمن نتایج ارائه شده در شکل (۷) بیانگر عدم دقت کافی آزمایش المان خمثی بخصوص در تنفس‌های محصور کننده پایین (کمتر از ۲۰۰ کیلوپاسکال) در خاک‌های حاوی مقادیر بالای شن است. محدوده ارائه شده در جداول (۱) و (۲) برای مقادیر تنفس‌های محصور کننده بالاتر از ۲۰۰ کیلوپاسکال قابل اطمینان است.

بر اساس تمامی نتایج به دست آمده در روش قله-قله با نتایج متناظر آنها در آزمایش ستون تشدید که در شکل (۹) ارائه شده است، می‌توان رابطه بین سرعت موج برشی به دست آمده در روش المان خمثی و ستون تشدید را به دست آورد. این رابطه که به صورت یک رابطه توانی با بالاترین مقدار ضربه همبستگی نسبت به سایر روابط است، در شکل (۹) ارائه شده است. قابل ذکر است رابطه مشابهی نیز می‌توان برای مقادیر G_{max} به دست آمده بین دو روش آزمایش ارائه داد، با این تفاوت که اختلاف بین دو روش اندازه‌گیری برای مقادیر G_{max}

شکل (۸) اثر تنفس همه‌جانبه بر روی در دو روش قله-قله و ابتدا-ابتدرا نشان می‌دهد. مقادیر $V_s(BE)$ استفاده شده در شکل (۸) میانگین مقادیر $V_s(BE)$ در فرکانس‌های مختلف در یک سطح تنفس خاص است. روند مشابهی در روش ابتدا-ابتدرا با روش قله-قله مشاهده می‌شود. مقایسه نتایج به دست آمده در دو روش نشان می‌دهد که اگرچه اختلاف دو روش خیلی کم است ولی در روش ابتدا-ابتدرا جواب‌های تقریباً نزدیک‌تری بین دو آزمایش المان خمثی و ستون تشدید نسبت به روش قله-قله دارد. همان‌طور که در مقدمه اشاره شده است، در مطالعات پیشین نسبت فاصله طی شده توسط موج به طول موج (d/λ) و همچنین نسبت طول موج به اندازه متوسط ذرات خاک (λ/D_{50}) جهت ارزیابی عملکرد المان خمثی به کار برده شده است. در این تحقیق نیز این دو پارامتر مورد بررسی قرار گرفته است و دامنه مناسب این پارامترها در جداول (۱) و (۲) ارائه شده است. در اینجا مقادیری به عنوان دامنه مناسب در نظر گرفته شده است که نسبت $V_s(BE)/V_s(RC)$ بین ۰/۹۵ تا ۱/۰۵ باشد. با مقایسه مقادیر ارائه شده در جدول (۱)، می‌توان دریافت که نسبت λ/D_{50} در خاک ماسه خالص دارای دامنه بزرگ‌تری نسبت به بقیه گروه‌های خاکی مورد مطالعه است. با افزایش مقدار شن، این نسبت محدود‌تر شده است. همین روند نیز در تغییرات نسبت d/λ در جدول (۲) نیز مشاهده می‌شود. در واقع می‌توان گفت



شکل (۸): اثر تنفس همه‌جانبه در گروه‌های مختلف خاکی در $Dr = 60\%$ بر روی نسبت سرعت موج برشی به دست آمده از دو آزمایش المان خمثی و ستون تشدید.

۶- نتیجه‌گیری

در این تحقیق مجموعه‌ای از آزمایش‌های ستون تشدید و المان خمی بر روی نمونه‌های بازسازی شده خاک‌های دانه‌ای ماسه یا محلوط شن و ماسه انجام شده است. بر اساس نتایج اثر دانسیته نسبی، تنش همه‌جانبه و مقدار شن بر روی سرعت موج برتری بررسی شده است. از طرف دیگر، عملکرد آزمایش المان خمی در فرکانس و سطوح تنش مختلف با آزمایش ستون تشدید مورد ارزیابی قرار گرفته است. نتایج به دست آمده به صورت خلاصه در زیر ارائه شده است:

۱- نتایج آزمایش‌ها نشان می‌دهد که افزایش تنش همه‌جانبه باعث افزایش غیرخطی V_s در خاک می‌شود و مقدار این اثر مستقل از دانه‌بندی و نوع خاک دانه‌ای است. شدت افزایش V_s در خاک‌های دانه‌ای در اثر افزایش تنش همه‌جانبه در سطوح تنش‌های کوچک (از ۳۰ تا ۳۰۰ کیلوپاسکال) بیشتر از سطوح تنش‌های بزرگ‌تر (از ۳۰۰ تا ۶۰۰ کیلوپاسکال) است و این شدت افزایش تقریباً مستقل از دانسیته نسبی اولیه نمونه‌ها است.

۲- نتایج آزمایش‌ها نشان می‌دهد که افزایش دانسیته نسبی اولیه در نمونه‌ها باعث افزایش V_s در خاک می‌شود. مقدار افزایش V_s به دنبال افزایش دانسیته نسبی اولیه نمونه‌ها مستقل از سطح تنش است و در تمامی گروه‌های خاکی روند تقریباً مشابهی دارد.

۳- با در نظر گرفتن نتایج آزمایش ستون تشدید به عنوان مرجع، همگرایی نتایج آزمایش المان خمی با ستون تشدید حاکی از عملکرد مناسب آزمایش المان خمی دارد. در این تحقیق نتایج به دست آمده از آزمایش المان خمی با آزمایش ستون تشدید جهت اعتبارسنجی آزمایش‌الان خمی، مقایسه شده است. نتایج نشان می‌دهد انتخاب مناسب فرکانس در آزمایش المان خمی تابعی از جنس خاک، اندازه ذرات آن و سطح تنش همه‌جانبه است. با اضافه شدن بیشتر شن به ماسه میزان، اختلاف نتایج به دست آمده بین دو روش آزمایش بیشتر شده و مقدار V_s به دست آمده در آزمایش المان خمی کمتر از مقدار متاظر به دست آمده از آزمایش ستون تشدید است. در تمامی گروه‌های

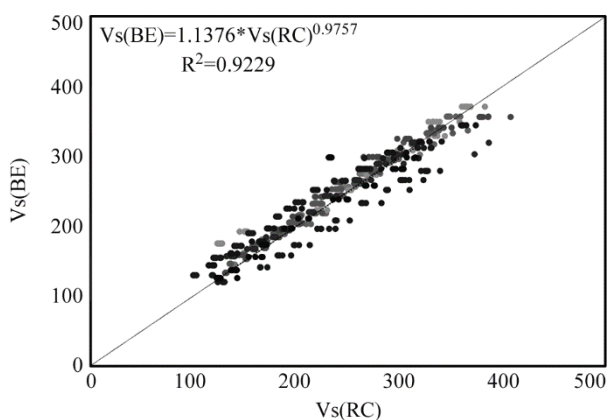
بیشتر خواهد بود. دلیل این افزایش اختلاف را می‌توان با توجه به رابطه $G_{max} = \rho V_s^2$ اثبات نمود. مثلاً اگر در یک نمونه خاص در مقدار تنش و دانسیته نسبی مشخصی $V_s(BE)/V_s(RC) = n$ باشد، در این حالت $G_{max}(BE)/G_{max}(RC) = n^2$ خواهد شد.

جدول (۱): دامنه مناسب برای نسبت $(\lambda/D50)$.

Dr (%)			مقدار شن (درصد)
۶۰	۳۰	۱۰	
۲-۲۰	۲-۱۷	۲-۱۵	۰
۲-۱۸	۸-۱۶	۲-۱۸	۳۰
۲-۱۵	۱-۱۲	۲-۸	۵۰
۱-۱۵	۱-۱۰	۱-۵	۷۵

جدول (۲): دامنه مناسب برای نسبت (d/d) .

Dr (%)			مقدار شن (درصد)
۶۰	۳۰	۱۰	
۱۰-۹۰	۱۰-۸۰	۱۵-۵۰	۰
۸-۶۰	۵-۸۰	۶-۶۰	۳۰
۲-۱۵	۳-۲۵	۲-۱۵	۵۰
۲-۵	۲-۷	۶-۱۵	۷۵



شکل (۹): رابطه بین $V_s(BE)$ و $V_s(RC)$ بر اساس نتایج به دست آمده در آزمایش‌ها.

- of G_{max} using bender elements. *Proceedings of the ASCE Annual Convention on Advances in the Art of Testing Soils under Cyclic Conditions*, 186-196.
7. Leong, E.C., Yeo, S.H. and Rahardjo, H. (2005) Measuring shear wave velocity using bender elements. *Geotechnical Testing Journal*, **28**(5), 488-498.
 8. Lee, J-S. and Santamarina, J.C. (2005) Bender Elements: Performance and Signal Interpretation. *Journal of Geotechnical and Geoenvironmental Engineering*, **131**(9), 1063-1070.
 9. Camacho-Tauta, J.F., Cascante, G., Viana, D.A., Fonseca. A., and Santos J.A. (2015) Time and frequency domain evaluation of bender element systems. *Géotechnique*, **65**(7), 548-562.
 10. Chan, C.M. (2010) Bender element test in soil specimens: Identifying the shear wave arrival time. *Electronic Journal of Geotechnical Engineering*, **15**, 1263-1276.
 11. Rahman, M.E., Pakrashi, V., Banerjee, S., and Orr, T. (2016) Suitable waves for bender element tests: Interpretations, errors and modelling aspects. *Periodica Polytechnica Civil Engineering*, **60**(2), 145-158.
 12. Gu, X., Yang, J., Huang, M., and Gao, G. (2015) Bender element tests in dry and saturated sand: Signal interpretation and result comparison. *Soils and Foundations*, **55**(5), 951-962.
 13. Arulnathan, R., Boulanger, R.W., and Riemer, M.F. (1998) Analysis of Bender Element Tests. *Geotechnical Testing Journal*, **21**(2), 120-131.
 14. Jovičić, V., Coop, M.R., and Simić, M. (1996) Objective criteria for determining G_{max} from bender element tests. *Géotechnique*, **46**(2), 357-362.
 15. Viggiani, G. and Atkinson, J.H. (1995) Stiffness of fine-grained soil at very small strains. *Géotechnique*, **45**(2), 249-265.
 16. Chan, C.M. (2012) On the interpretation of shear wave velocity from bender element tests. *Acta Technica Corviniensis - Bulletin of Engineering*, **5**(1), 29.
 17. Kim, T., Zapata-Medina, D.G., and Vega-Posada, C.A. (2015) Analysis of Bender Element signals during triaxial testing. *Revista Facultad de*

خاکی مورد استفاده، افزایش تنش همه جانبه باعث همگرایی بیشتر بین نتایج المان خمثی و ستون تشید شده است.

۴- در این تحقیق جهت ارزیابی عملکرد المان‌های خمثی در شرایط متفاوت از دو نسبت: فاصله طی شده توسط موج به طول موج (d/λ) و همچنین نسبت طول موج به اندازه متوسط ذرات خاک (λ/D_{50}) استفاده شده است. مقادیر دو نسبت داده شده به عنوان دامنه مناسب در نظر گرفته شده است که در این دامنه نسبت $Vs(BE)/Vs(RC)$ بین 0.95 تا 1.05 باشد. نتایج نشان می‌دهد که نسبت λ/D_{50} و d/λ در خاک ماسه خالص دارای دامنه بزرگ‌تری نسبت به بقیه گروه‌های خاکی مورد مطالعه است و با افزایش مقدار شن، این نسبت محدود‌تر شده است. در واقع می‌توان گفت که یافتن مقدار واقعی سرعت موج برشی در خاک ماسه‌ای خالص با استفاده از المان‌های خمثی در محدوده فرکانس‌های بیشتری امکان‌پذیر است، این در حالی است که با اضافه شدن شن به خاک ماسه میزان، انجام آزمایش المان خمثی در محدوده فرکانس‌های محدودتری قابلیت اعتماد دارد.

مراجع

1. Kramer, S.L. (1996) *Geotechnical Earthquake Engineering*. Prentice Hall. Inc., Upper Saddle River, New Jersey.
2. Shirley, D.J. (1978) An improved shear wave transducer. *Journal of the Acoustical Society of America*, **63**(5), 1643-1645.
3. Pennington, D.S. (1999) *The Anisotropic Small Strain Stiffness of Cambridge Gault Clay*. Ph.D. Thesis. University of Bristol.
4. Lawrence, Jr, F.V. (1965) *Ultrasonic Shear Wave Velocities in Sand and Clay (No. RR-R65-05)*. Massachusetts Inst. of Tech Cambridge Dept. of Civil Engineering.
5. Shirley, D.J. and Hampton, L.D. (1978) Shear-wave measurements in laboratory sediments. *The Journal of the Acoustical Society of America*, **63**(2), 607-613.
6. Dyvik, R. and Madshus, C. (1985) Lab measurements

- Jimenez Alvarez, J.D. (2013) Comparison between resonant-column and bender element tests on three types of soils. *Dyna.*, **80**(182), 163-172.
28. Souto, A., Hartikainen, J. and Özüdogru, K. (1994) Measurement of dynamic parameters of road pavement materials by the bender element and resonant column tests. *Géotechnique*, **44**(3), 519-526.
29. Hoyos, L.R., Suescún-Florez, E.A. and Puppala, A.J. (2015) Stiffness of intermediate unsaturated soil from simultaneous suction-controlled resonant column and bender element testing. *Engineering Geology*, **188**, 10-28.
30. ASTM D-18. (2008) *Standard Test Method for Laboratory Determination of Pulse Velocities and Ultrasonic Elastic Constants of Rock*.
31. Pennington, D.S., Nash, D.F., and Lings, M.L. (2001) Horizontally Mounted Bender Elements for Measuring Anisotropic Shear Moduli in Triaxial Clay Specimens. *Geotechnical Testing Journal*, **24**(2), 133-144.
32. Kumar, J. and Madhusudhan, B.N. (2010) A note on the measurement of travel times using bender and extender elements. *Soil Dynamics and Earthquake Engineering*, **30**(7), 630-634.
33. Arroyo, M. and Greening, P.D. (2002) Phase and amplitude responses associated with the measurement of shear-wave velocity in sand by bender elements: Discussion. *Canadian Geotechnical Journal*, **39**(2), 483-484.
34. Kumar, J. and Madhusudhan, B.N. (2010) On determining the elastic modulus of a cylindrical sample subjected to flexural excitation in a resonant column apparatus. *Canadian Geotechnical Journal*, **47**(11), 1288-1298.
35. Chung, R.M., Yokel, F.Y., and Drnevich, V.P. (1984) Evaluation of dynamic properties of sands by resonant column testing. *Geotechnical Testing Journal*, **7**(2), 60-69.
36. Drnevich, V.P., Hardin, B.O., and Shippy, D.J. (1978) 'Modulus and damping of soils by the resonant column method'. In *Dynamic Geotechnical Testing*, ASTM Spec. Tech. Publ., 654, 91-121.
37. Moayerian, S. (2012) *Effect of Loading Frequency* *Ingeniería Universidad de Antioquia*, **76**, 107-113.
18. Mancuso, C. and Vinale, F. (1988) Propagazione delle onde sismiche: teoria e misura in situ. *Atti del Convegno del Gruppo Nazionale di Coordinamento per gli Studi di Ingegneria Geotecnica*, 115-138.
19. Brignoli, E.G., Gotti, M. and Stokoe, K.H. (1996) Measurement of Shear Waves in Laboratory Specimens by Means of Piezoelectric Transducers. *Geotechnical Testing Journal*, **19**(4), 384-397.
20. Sanchez, S.I., Roesset, J.M. and Stokoe, K.H. (1986) *Analytical Studies of Body Wave Propagation and Attenuation*. Texas Univ. at Austin Geotechnical Engineering Center.
21. Gajo, A., Fedel, A. and Mongiovi, L. (1997). Experimental analysis of the effects of fluid-solid coupling on the velocity of elastic waves in saturated porous media. *Géotechnique*, **47**(5), 993-1008.
22. Kawaguchi, T., Mitachi, T. and Shibuya, S. (2001) Evaluation of shear wave travel time in laboratory bender element test. *15th International Conference on Soil Mechanics and Geotechnical Engineering*, **1**, 155-158.
23. He, H. and Senetakis, K. (2016) The effect of grain size on G_{max} of a demolished structural concrete: A study through energy dispersive spectroscopy analysis and dynamic element testing. *Soil Dynamics and Earthquake Engineering*, **89**, 208-218.
24. Ferreira, C., da Fonseca, A., and Santos, J.A. (2006) Comparison of Simultaneous Bender Elements and Resonant Column Tests on Porto Residual Soil. In: *Soil Stress-Strain Behavior: Measurement, Modeling and Analysis*, 523-535.
25. Camacho-Tauta, J., Cascante, G., Santos, J.A. and Viana Da Fonseca, A. (2011) Measurements of shear wave velocity by resonant-column test, bender element test and miniature accelerometers. *Proceedings of the 2011 Pan-Am Geotechnical Conference* 1-9.
26. Youn, J.U., Choo, Y.W., and Kim, D.S. (2008) Measurement of small-strain shear modulus G_{max} of dry and saturated sands by bender element, resonant column, and torsional shear tests. *Canadian Geotechnical Journal*, **45**(10), 1426-1438.
27. Camacho-Tauta, J.F., Reyes-Ortiz, O.J., and

- The University of Hong Kong, Hong Kong.
48. Carlton, B.D. and Pestana, J.M. (2016) A unified model for estimating the in-situ small strain shear modulus of clays, silts, sands, and gravels. *Soil Dynamics and Earthquake Engineering*, **88**, 345-355.
49. Hardin, B.O. and Black, W.L. (1967) Sand stiffness under various triaxial stresses. *J. Soil Mech. Found. Div.*, **92**(2), 27-42.
50. Toros, U., Hiltunen, D.R., Campos, L.A., Roque, R., McVay, M.C., and Birgisson, B. (2008) *Characterization of Time-Dependent Changes in Strength and Stiffness of Florida Base Materials*. Final Report for Contract BD545-44, Florida Department of Transportation, October, 224p.
51. Maleki, M. and Bayat, M. (2012) Experimental evaluation of mechanical behavior of unsaturated silty sand under constant water content condition. *Engineering Geology*, **141**, 45-56.
52. Borhani, A. and Fakharian, K. (2016) Effect of particle shape on dilative behavior and stress path characteristics of chamkhaleh sand in undrained triaxial tests. *International Journal of Civil Engineering*, **14**(4), 197-208.
53. Ladd, R.S. (1978) Preparing Test Specimens Using Undercompaction. *Geotechnical Testing Journal*, **1**(1), 16-23.
54. ASTM D-4767 (2011) *Standard Test Method for Consolidated Undrained Triaxial Compression Test for Cohesive Soils*.
55. ASTM D4254 (2006) *Standard Test Methods for Minimum Index Density and Unit Weight of Soils and Calculation of Relative Density*.
56. ASTM D-4253 (2013) *Standard Test Methods for Maximum Index Density and Unit Weight of Soils Using a Vibratory Table*.
57. Leong, E.C. and Cheng, Z.Y. (2016) Effects of Confining Pressure and Degree of Saturation on Wave Velocities of Soils. *International Journal of Geomechanics*, ASCE **16**(6), 1-10.
58. Lee, C.J. and Huang, H.Y. (2006) Wave velocities and their relation to fabric anisotropy during the shearing of sands. *Geotechnical Engineering*, **37**(1), 13-27.
- on Dynamic Properties of Soils Using Resonant Column. Master's Thesis, University of Waterloo.
38. Li, X.S., Yang, W.L., Shen, C.K., and Wang, W.C. (1998) Energy-injecting virtual mass resonant column system. *Journal of Geotechnical and Geoenvironmental Engineering*, **124**(5), 428-438.
39. Khan, Z., El Naggar, M.H. and Cascante, G. (2011) Frequency dependent dynamic properties from resonant column and cyclic triaxial tests. *Journal of the Franklin Institute*, **348**(7), 1363-1376.
40. Deschenes, M.R. (2015) *Drive Plate Mass Polar Moment of Inertia in Stokeo Type Resonant Column Devices*. Ph.D. Diss. Undergraduate Honors Theses, University of Arkansas.
41. Cabalar, A.F. (2010) Applications of the oedometer, triaxial and resonant column tests to the study of micaceous sands. *Engineering Geology*, **112**(1-4), 21-28.
42. Chong, Song-Hun, and Jin-Yeon Kim. (2017) Nonlinear vibration analysis of the resonant column test of granular materials. *Journal of Sound and Vibration*, **393**, 216-228.
43. Senetakis, Kostas, and Huan He. (2017) Dynamic characterization of a biogenic sand with a resonant column of fixed-partly fixed boundary conditions. *Soil Dynamics and Earthquake Engineering*, **95**, 180-187.
44. Madhusudhan, B.N. and Senetakis, K. (2016) Evaluating use of resonant column in flexural mode for dynamic characterization of Bangalore sand. *Soils and Foundations*, **56**(3), 574-580.
45. El Mohtar, C.S., Drnevich, V.P., Santagata, M. and Bobet, A. (2013) Combined resonant column and cyclic triaxial tests for measuring undrained shear modulus reduction of sand with plastic fines. *Geotechnical Testing Journal*, **36**(4), 1-9.
46. Cai, Y., Dong, Q., Wang, J., Gu, C., and Xu, C. (2015) Measurement of small strain shear modulus of clean and natural sands in saturated condition using bender element test. *Soil Dynamics and Earthquake Engineering*, **76**, 100-110.
47. Gu, X. (2012) *Dynamic Properties of Granular Materials at the Macro and Micro Scales*. Ph.D.

Skempton

۱۱-اسکمپتون

59. Gu, X., Yang, J., and Huang, M. (2013) Laboratory measurements of small strain properties of dry sands by bender element. *Soils and Foundations*, **53**(5), 735-745.
60. Liu, X., Yang, J., Wang, G., and Chen, L., (2016) Small-strain shear modulus of volcanic granular soil: An experimental investigation. *Soil Dynamics and Earthquake Engineering*, **86**, 15-24.
61. Panuška J. and Frankovská J. (2016) Effect of a Void Ratio on the Small Strain Shear Modulus Gmax for Coarse - Grained Soils. *Procedia Engineering*, **161**, 1235-1239.
62. Zhou, W., Chen, Y., Ma, G., Yang, L., and Chang, X. (2017) A modified dynamic shear modulus model for rockfill materials under a wide range of shear strain amplitudes. *Soil Dynamics and Earthquake Engineering*, **92**, 229-238.
63. Jia, J. (2018) 'Dynamic and Cyclic Properties of Soils'. In: *Soil Dynamics and Foundation Modeling*. Springer, Cham.
64. Choo, H. and Burns, S.E. (2015) Shear wave velocity of granular mixtures of silica particles as a function of finer fraction, size ratios and void ratios. *Granular Matter*, **17**(5), 567-578.
65. Bayat, M. and Ghalandarzadeh, A. (2018) Stiffness Degradation and Damping Ratio of Sand-Gravel Mixtures under Saturated State. *International Journal of Civil Engineering*, **16**(10), 1261-1277.

واژه‌نامه

Bender Element	۱-المان خمینی
Resonant Column	۲-ستون تشدید
Piezoelectric	۳-پیزوالکتریک
Near Field Effect	۴-اثر میدان نزدیک
First Arrival	۵-زمان اولین ورود
Characteristic Points	۶-نقاط مشخصه
Cross Correlation	۷-همبستگی متقابل
Peak to Peak	۸-قله-قله
First to First	۹-ابتدا-ابتدا
De-aired Water	۱۰-آب مقطر هوایگیری شده

Evaluation of Shear-Wave Velocity in Granular Soil Using Bender Element and Resonant Column

Meysam Bayat^{1*} and Abbas Ghalandarzadeh²

1. Assistant Professor, Department of Civil Engineering, Najafabad Branch, Islamic Azad University, Najafabad, Iran,
*Corresponding Author, email: bayat.m@pci.iaun.ac.ir

2. Associate Professor, School of Civil Engineering, College of Engineering, University of Tehran, Tehran, Iran

Shear wave velocity, V_s , is a useful soil mechanical property for determining the low shear strain ($\gamma \approx 0.0001\%$) elastic shear modulus, which is required for both static and dynamic response analyses of earth structures. It is an important geotechnical soil property for the design and analysis of geotechnical structures. It can be employed to determine the maximum or small-strain ($\leq 10-3\%$) dynamic shear modulus (G_{max} or G_0) of the soil mass. V_s can be easily obtained using laboratory or in situ testing techniques. Laboratory tests can be carried out on undisturbed soil samples by simulating the field stress conditions or reconstituted soil samples from a site. However, obtaining good quality undisturbed samples of granular soil deposits is very difficult and moderately expensive. In most geotechnical investigations, the seismic properties (P- or S-wave velocity and the dynamic elastic properties) of granular soil layers from in situ tests (such as the seismic cone penetration test) cannot be determined because of the high cost of undisturbed specimens and the need for highly specialized personnel and equipment. There is increasing interest in the use of V_s to study soil particle properties (e.g. shape, elastic properties, gradation) and the soil state and fabric (e.g. void ratio, boundary stress). In the current study, the bender element and resonant column tests were conducted on sand-gravel specimens. A bender element is an electro-mechanical transducer composed of two-layers of piezo-ceramic plates that are cross-sectionally polarized. This allows for straightforward wave velocity measurement of soil specimens. The BE converts electrical energy to mechanical energy (movement). The resonant column device is commonly used in the laboratory to measure the low-strain properties of soil. This includes the dynamic properties (shear modulus and damping ratio) of soil specimens at strain levels of 10^{-6} to 5×10^{-3} conducted according to ASTM standards. In the RC test, V_s can be calculated using the solution of the equation for the linear vibration of a column-mass system. The RC device is the most reliable laboratory method for measurement of V_s . The aim of this research was to explain the effects on V_s of the relative density, mean effective stress, grading characteristics, consolidation stress ratio and initial fabric anisotropy produced during specimen preparation. Five gradations of gravelly and sandy material were used to study the influence of grading characteristics, consolidation stress ratio, depositional method, relative density and mean effective stress on the dynamic properties of granular soil. The pure sand was clean, uniformly-graded fine sand with a mean grain size of 0.6 and a silt content of less than 1% that was classified as SP according to the unified soil classification system (USCS). The pure gravel was uniformly-graded soil with a maximum particle size of less than 16 mm that was classified as GP according to the USCS. The measured values from the resonant column and bender element tests also were compared. Comparison of V_s -BE and V_s -RC shows that the results obtained by both techniques were in acceptable agreement for all specimens; however, there was a slight difference between the two techniques at low values of V_s in which V_s -BE was consistently lower than the corresponding values of V_s -RC. The results of these tests were employed to develop a generalized relationship for predicting the V_s of granular soil. The V_s model was validated using experimental data from the current study and from previous studies. The results indicate that the proposed model is capable of predicting the V_s of granular soil.

Keywords: Shear Wave Velocity; Sand; Gravel; Bender Element; Resonant Column; Anisotropy.